

ارزیابی استهلاک انرژی جریان دوفازی روگذر سرریز پلکانی به کمک گودال آب شستگی پایین دست

اسدالله مردشتی^{۱*}، ناصر طالب بیدختی^۲، محمود جوان^۳

۱- دانشجوی دکترای سازه های هیدرولیکی بخش مهندسی عمران، دانشکده مهندسی، دانشگاه شیراز

۲- استاد بخش مهندسی عمران، دانشکده مهندسی، دانشگاه شیراز

۳- دانشیار بخش مهندسی آب، دانشکده کشاورزی، دانشگاه شیراز

* شیراز، خیابان زند، دانشکده مهندسی دانشگاه شیراز

a.mardashti@yahoo.com

چکیده - جریان ریزشی روی سرریز پلکانی^۱ به دلیل زبری قابل قیاس پله های بستر سرریز نسبت به عمق معمول جریان، دارای آشفتگی شدید قائم است که به تبع آن ورود هوا از سطح و در نهایت جریان دوفازی آب و هوا را در پی خواهد داشت. برآورد میزان استهلاک انرژی روی سرریز پلکانی با توجه به پیچیدگی جریان دوفازی و تلاطم شدید، یکی از مهمترین مباحث مورد پژوهش است. در این مقاله با ملاحظه کردن آخرین نکات اثر مقیاس مدل فیزیکی در جریانهای دوفازی، برای دو شیب ۱۸/۸ و ۲۸ درجه با افق، چهارخیز پلکان متفاوت ۳، ۵، ۸ و ۱۲ سانتیمتری و دبهای مختلف ۶، ۱۰، ۱۵، ۲۰ و ۲۵ لیتر در ثانیه (در مجموع ۴۰ حالت)، اندازه گیری میزان استهلاک انرژی جریان ریزشی توسط روش جدید عمق گودال آب شستگی پایین دست و بررسی دیداری حالت های مختلف جریان انجام شده است. با مقایسه نسبی نتایج آزمایشگاهی با نتایج دیگر محققان مطرح، روش گودال آب شستگی به عنوان نوعی روش جدید ساده غیر مستقیم با دقت مناسب، برای اندازه گیری انرژی جریانهای دوفازی روباز در مقابل روش پر هزینه اندازه گیری غلظت هوا، مطرح و قابل ارائه است. در این مقاله طی بررسی دیداری، ارتباط معناداری بین سه حالت مختلف جریان ریزشی و "عدد فرود زبر" حاصل شد که نشانگر جایگاه مهم این عدد بدون بعد در مباحث سرریز پلکانی است. در نهایت با توجه به اینکه با کمک روش اندازه گیری جدید گودال آب شستگی، انرژی باقیمانده در پایین دست سرریز پلکانی برای تمام حالت های سه گانه جریان ریزشی قابل اندازه گیری است، امکان ارائه رابطه تجربی جدیدی برای برآورد میزان استهلاک انرژی برای کل طیف جریان ریزشی بر اساس نسبت بدون بعد ترکیبی از "عدد فرود زبر"، "تعداد پلکان" و "شیب سرریز"، میسر شده است.

کلید واژگان: استهلاک انرژی، جریان دوفازی، سرریز پلکانی، گودال آب شستگی.

۱- **مقدمه** غلتکی (RCC)^۲ که امکان ایجاد سرریز بر روی بدنه سد،

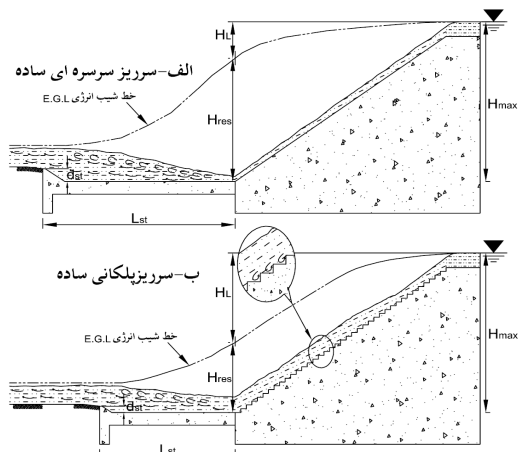
آن هم به صورت پلکانی را میسر کرده، در طی سه دهه گذشته، رشد زیادی داشته است. همچنین امکان احداث

مطالعه سرریزهای پلکانی، علی رغم قدمت تاریخی بیش از ۳۰۰۰ سال، به دلیل توسعه فناوری ساخت سدهای بن

2. Roller Compacted Concrete (RCC)

1. Stepped Spillway

سرریز ساده است (تقریباً دو تا سه برابر سرریز سرسره ای ساده) که به تبع آن خطر حفره زایی^۲ به شدت کاهش می یابد. دوم با توجه به بالابودن ضریب زبری کف ناشی از زبری فرم بستر^۳، سرعت جریان روگذر در مقایسه با سرریز سرسره ای به مراتب کمتر است که در پیامد آن انرژی جنبشی جریان روگذر در پایین دست سرریز (متنااسب با توان دوم سرعت) کاهش یافته و متقابلاً ابعاد و عمق سازه انرژی گیر پایین دست (عمدتاً حوضچه آرامش یا حوضچه استغراق) نیز کاهش می یابد. (طول حوضچه در بندهای کوچک حدود ۱۰ درصد و در سدهای بزرگ تا ۵۰ درصد کاهش می یابد) (شکل ۱).



شکل ۱ تمایز عملکرد سرریز پلکانی نسبت به سرریز سرسره ای ساده در استهلاک انرژی

همچنین کاهش سرعت جریان روگذر سرریز پلکانی خطر حفره زایی را به شدت تقلیل می دهد. سوم از نظر اجرایی در سطوح شیبدار، اجرای شکل پلکانی سرریز به مراتب ساده‌تر و سریعتر و اقتصادی‌تر است (Chanson 2001,2002). در مقابل سرریز پلکانی به دلیل افزایش عمق جریان روگذر نیاز به عمق دیوارهای جانبی بیشتر دارد. امروز این مورد در مقایسه با تأثیر در کاهش ابعاد سازه انرژی گیر پایین دست و به خصوص

سرریزهای پلکانی روگذر پیش ساخته برای سدهای خاکی اهمیت موضوع را دو چندان کرده است. یکی از ویژگیهای مهم سرریز پلکانی، استهلاک انرژی قابل ملاحظه در طول سرریز است که به تبع آن ابعاد سازه انرژی‌گیر انتهایی به مراتب کوچکتر می‌شود. با توجه به زیاد بودن زبری کف سرریز پلکانی نسبت به عمق معمول جریان و ایجاد تلاطم شدید در راستای قائم، هوا از سطح به داخل جریان روگذر وارد می‌شود. به تبع این مهم، جریان روگذر سرریز پلکانی بر خلاف سایر سرریزها، حالت دو فازی آب و هوا با تلاطم شدید سه بعدی پیدا کرده و از پیچیدگی خاصی برخوردار است. لذا با توجه به پیچیدگی زیاد شکل جریان روگذر سرریز پلکانی، اندازه‌گیری استهلاک انرژی سرریز پلکانی یکی از مهمترین موضوعات مورد بحث و بررسی محققان گذشته بوده است که گاهی به دلیل روش‌های مختلف اندازه‌گیری، اندازه مقياس، محدوده دبهای اندازه‌گیری و نهایتاً شرایط مرزی متفاوت در نظر گرفته شده در کارهایشان، نتایج دارای پراکندگی و تفاوت محسوس بوده است. بنابراین در این مقاله ضمن مطرح کردن استفاده از گودال آب شستگی پایین دست به عنوان روشی جدید برای برآورد استهلاک انرژی سرریز پلکانی، همچنین ملحوظ کردن آخرین نکات اثر مقياس مدل در جریانهای دوفازی، اقدام به ارزیابی نتایج ارائه شده از سوی دیگر محققان شده است.

۲- مور تحقیقات

کاربرد سرریزهای پلکانی، در مقایسه با سرریزهای سرسره‌ای^۱ ساده در طی چند سال گذشته بسیار بیشتر شده است (Chanson 2002). دلایل توجه بیشتر به این نوع سرریز، اول به دلیل افزایش زبری قابل ملاحظه کف، هواده‌ی جریان روگذر سرریز پلکانی بسیار بیشتر از

2. Cavitation
3. Form Roughness

1. Chute Spillway

غلظت هوا نسبت به عمق متوسط‌گیری شود، رابطه (۱) به صورت زیر در می‌آید:

$$d_w = (1 - C_{mean})Y_{90} \quad (2)$$

همچنین متوسط سرعت جریان U_w به صورت زیر تعریف می‌شود:

$$U_w = \frac{q_w}{d_w} \quad (3)$$

که در آن q_w دبی در واحد طول سرریز پلکانی است. در جریان افتان و خیزان، تیغه ریزشی از روی هر پله به روی کف پله بعدی سقوط کرده و انرژی جریان تحت حرکت تیغه آب در هوا، برخورد به کف بستر پله پایین دست و در پایان پرش هیدرولیکی کامل یا ناقص تشکیل شده بر روی کف پله پایین دست مستهلک می‌شود. به بیان دیگر پله‌ها در این حالت شبیه آبشارهای^۱ مستقل و کوچک متوالی عمل می‌کنند. جریان افتان و خیزان به صورت کلی تحت دبیهای کم در مقایسه با ارتفاع پلکان (د) عمق بحرانی جریان روگذر در مقایسه با s خیز پلکان تشکیل می‌شود (شکل ۲).

Sorensen, Essery & Horner (1978) محققانی مانند

Peyras et al., Stephenson (1991), (1985)

Chanson, Christodoulou (1993), (1992)

Chamani & Rajaratnam (1994), (1994a)

Peruginelli & Pegliara, Pinheiro & Fael (2000)

Andre (2004) در طی چند سال گذشته بر

روی جریان افتان و خیزان مطالعه کرداند.

Chanson (1994a) برای شبیهای کلی

$\theta < 30^\circ$ که $\theta > 11.3^\circ$ زاویه سرریز با افق است، رابطه

(۴) را برای تشکیل جریان افتان و خیزان با پرش

هیدرولیکی کامل بر روی کف پله‌ها ارائه کرد:

$$\frac{dq_c}{s} \leq 0.0916 \left(\frac{s}{l} \right)^{-1.276} \quad (4)$$

که در آن L طول کف پله است.

عمق آن در طرحهای مختلف از لحاظ فنی و اقتصادی، بررسی و ارزیابی می‌شود و در بسیاری موارد، در نهایت سرریز پلکانی انتخاب می‌شود. در راستای امتیازهای مطرح شده فوق، سرریزهای پلکانی، روش مناسبی برای رهاسازی مطمئن سیلاپ بر روی سدهای وزنی بتی، سدهای وزنی بتن غلطکی (RCC)، سرریزهای پیش‌ساخته روگذر سدهای خاکی، بندهای آبگیر در مسیر رودخانه‌ها، کانالهای پرشیب دفع سیلاپ در مناطق کوهستانی است که در طی سالیان اخیر کاربرد آن افزایش یافته است.

فرایند جریان ریزشی سرریز پلکانی تحت دو حالت عمده جریان "افتان و خیزان"^۱ و "سرسره غلتتشی"^۲ کاملاً هواده‌ی شده و یک حالت بینایینی با عنوان "انتقالی"^۳ بین دو رژیم جریان، قابل تفکیک و تشخیص است. جریانهای افتان و خیزان و سرسره غلتتشی بر روی سرریز پلکانی تحت هر شبیه می‌تواند اتفاق بیفتد. در هر دو حالت، جریان بعد از رسیدن لایه جدار مرزی^۴ به سطح آن به صورت کامل هواده‌ی می‌شود و جریان کاملاً آشفته^۵ است.

متوسط زمانی غلظت هوا در داخل جریان دو فازی بر حسب موقعیت در طول مسیر سرریز در واحد حجم با حررف C تعریف می‌شود و بر حسب آن عمق آب معادل عاری از هوا تحت عنوان d_w به صورت رابطه (۱) حاصل می‌شود:

$$d_w = \int_0^{Y_{90}} (1 - C) dY \quad (1)$$

که Y عمق عمود بر بستر سرریز پلکانی و Y_{90} عمقی از جریان است که در آن غلظت هوا در داخل جریان ۹۰ درصد است. لازم به توضیح است که عمق‌ها نسبت به سطح پوش لبه پله‌ها محاسبه می‌شود. در صورتی که از

1. Nappe
2. Skimming
3. Transition
4. Boundary Layer
5. Turbulent

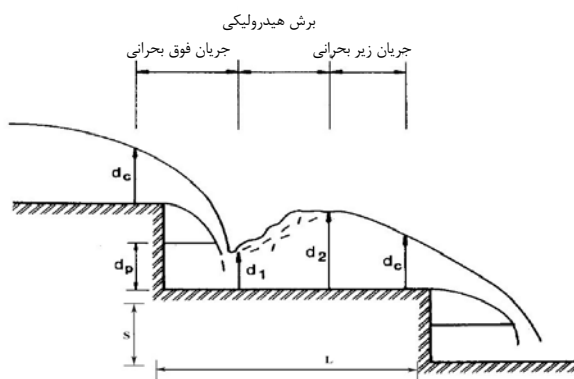
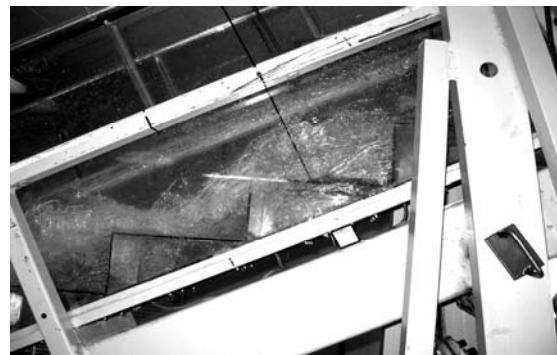
ارتفاع و دبی مساوی سرریز کمتر شود، افت انرژی بیشتر می شود. به بیان دیگر با افزایش تعداد پلکان جهت یک شب، ارتفاع و دبی مساوی در سرریز پلکانی، Matos & Chanson (1994a) Peruginelli & Pegliara (1995b) Quintela (2000) در مطالعات خود با کاهش انرژی مستهلاک شونده بر روی سرریز روبرو شده اند. بنابراین برای سدهای کوتاه با پلکانهای بزرگ در حالت جریان غیر یکنواخت، جریان افتان و خیزان انرژی بیشتری از حالت جریان سرسره غلتی مستهلاک می کند (Andre 2004). (Chanson 2002)

وقتی دبی جریان روگذر افزایش می یابد، به تدریج عمق جریان در مقایسه با زبری کف (s خیز پله یا k عمق عمود بر بستر خیز پلکان) افزایش یافته و به دنبال آن زبری شکل بستر غرق می شود. با غرق شدن پلکان، حالت جریان از افتان و خیزان به سرسره غلتی تغییر می یابد (Rajaratnam 1990).

Chamani & Rajaratnam (1990) محققانی مانند Boes & Chanson (1994a) Rajaratnam (1994)

Hager (2003b) روابطی را برای آستانه پایینی جریان سرسره غلتی بر حسب نسبت $\frac{dq_c}{s}$ و شب پلکان ارائه کرده اند که در مقایسه روابط توسط Boes & Hager (2003 b) Frizel et al. (2000) رابطه (6) برای شباهی $25^\circ < \theta < 55^\circ$ نسبت به گستره داده ها، مناسبتر تشخیص داده شده است:

$$\frac{dq_c}{s} \geq 0.91 - 0.14 \left(\frac{s}{l} \right) \quad (6)$$



شکل ۲ مشخصه های جریان افتان و خیزان

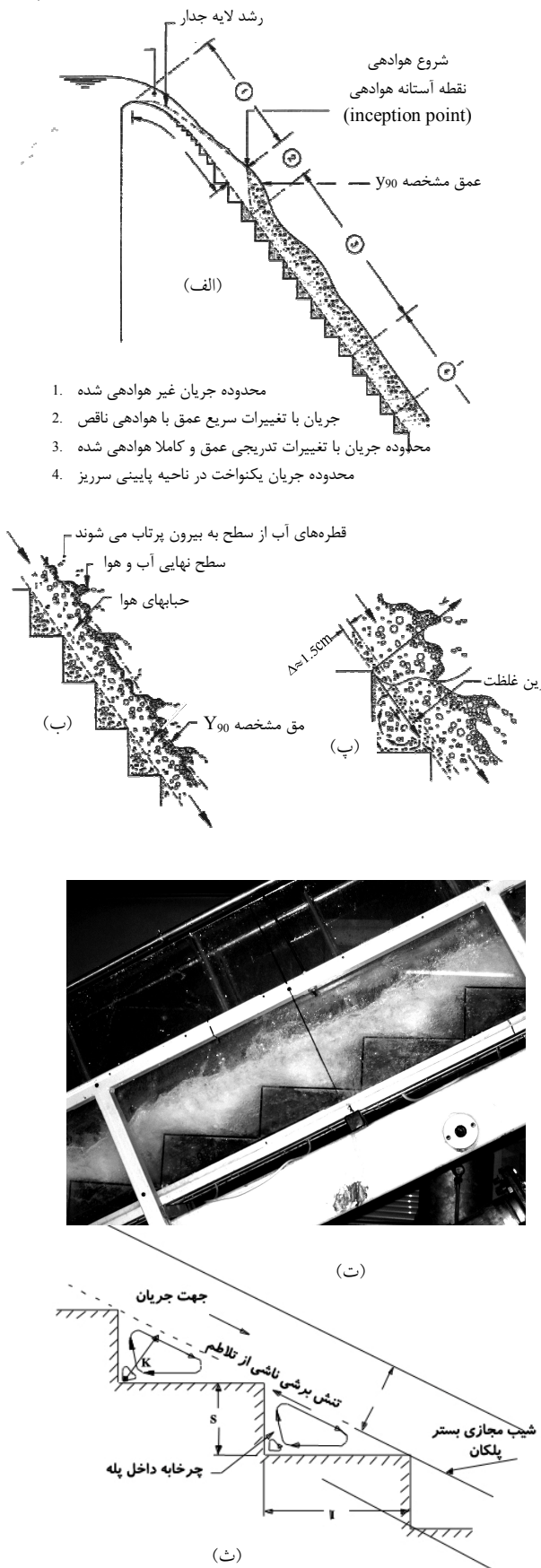
Pinheiro & Fael (2000) تمامی مطالعات پژوهشگران قبلی در زمینه جریانهای افتان و خیزان را ارزیابی و مقایسه کرده اند. آنها در ارزیابی مجدد آزمایشگاهی نتیجه گرفتند که رابطه افت انرژی (5) ارائه شده از سوی Chamani & Rajaratnam (1994) محققان، تطابق بهتری با نتایج ارزیابی مجدد آزمایشگاهی دارد.

$$\frac{\Delta E}{E} = 1 - \frac{\left\{ (1-A)^N \left[1 + 1.5 \left(\frac{dq_c}{s} \right) \right] + \sum_{i=1}^{N-1} (1-A)^i \right\}}{N + 1.5 \left(\frac{dq_c}{s} \right)} \quad (5)$$

به طوری که

$$A = \left[0.30 - 0.35 \left(\frac{s}{l} \right) \right] - \left[0.54 + 0.27 \left(\frac{s}{l} \right) \right] \log \left(\frac{dq_c}{s} \right)$$

که در آن N تعداد پله و ΔE میزان استهلاک انرژی روى سرریز پلکانی و E انرژی جریان ورودی به سرریز است. در حالت جریان افتان و خیزان، هر چه تعداد پلکان برای



شکل ۳ مشخصه‌های جریان سرسره غلتی

به دلیل محدودیت طول دهانه سرریز، دبی زیاد سیالاب یا به بیان دیگر q_w زیاد، عموماً بیشتر سرریزهای متوسط تا بلند از لحاظ ارتفاعی در سیالاب طرح در وضعیت جریان سرسره غلتی قرار می‌گیرند. به همین دلیل مطالعات در زمینه جریانهای سرسره غلتی به مراتب بیشتر بوده است. در جریان سرسره غلتی، توده اصلی جریان بر روی تعدادی چرخ آبی (چرخابه)^۱ که در محفظه داخلی پله‌ها شکل می‌گیرند به پایین سرخورده و ریزش می‌کند. به علت بوجود آمدن این چرخابه‌ها که در کنار هم فروافتگی پلکان را پر می‌کنند، بستر نسبتاً صافی که در حقیقت سطح پوش چرخابه‌های غلتکی است، به وجود می‌آید که امکان پایین لغزیدن راحت‌تر توده اصلی جریان را فراهم می‌سازد. همانطور که جریان بر روی بستر پوشیده شده از غلتکهای چرخابه‌ای به پایین می‌لغزد، به تدریج به دلیل رشد لایه مرزی به داخل توده جریان و افزایش تلاطم قائم ($'v'$)^۲ و فرآگیر شدن آن در کل عمق، هوا قابل ملاحظه‌ای به داخل جریان وارد می‌شود و به اصطلاح جریان هواده شده و جریان به رنگ سفید در می‌آید (Chamani, 2000). با هواده تیغه جریان روگذر، ضخامت توده جریان ریزشی افزایش می‌یابد. در این وضعیت انرژی جریان تحت انتقال ممنتم جریان ریزشی سرسرهای به چرخابه‌های غلتی مستهلك می‌شود. (شکل ۳).

جریان سرسره غلتی در طول سرریز پلکانی از ابتدا به بخش‌های: ۱- محدوده جریان با تغییرات سریع عمق و تاج سرریز، ۲- محدوده جریان با تغییرات سریع عمق و تا اندازه‌ای هواده شده، ۳- محدوده جریان با تغییرات تدریجی عمق و کاملاً هواده شده، ۴- محدوده جریان یکنواخت در ناحیه پایینی سرریز (به طوری که عمق، غلظت هوا و سرعت در حالت تعادل باشند)، قابل تفکیک است.

-
1. Recirculation Vortices
 2. Fluctuating Vertical Velocity ($V = \bar{V} + v'$)

عمق متوسط عاری از هوا d_w از روی اندازه‌گیری عمق مشاهده‌ای هوادار است که با Y_{90} در بین محققین شناخته می‌شود. تعدادی از محققان اولیه با یکی گرفتن دو عمق هوادار و بدون هوا، برآوردهای دست بالاتری برای افت انرژی سرریز پلکانی به دست آوردند (Chanson & Gonzalez 2005) خود به ابزار اندازه‌گیری دقیق غلط نموده و دقت زیاد در اندازه‌گیری نیاز دارد که همین موضوع باعث پراکندگی در بین نتایج محققان شده است.

محققان مختلف در سالهای ۱۹۹۴ تاکنون برای f اعدادی را بین $0/07$ تا $0/33$ به دست آورده‌اند که بیشتر اعداد حاصل بین $0/1$ تا $0/2$ بوده است. لازم به توضیح است که هر چه شیب سرریز پلکانی تخت‌تر شود (سرریز روگذر سدهای خاکی)، ضریب زبری f به سمت اعداد کوچکتری در حدود $0/1$ میل می‌کند و در صورتی که شیب سرریز پلکانی زیاد شود، ضریب زبری به اعداد بزرگتر $0/2$ تا $0/3$ میل می‌کند. به بیان دیگر هر چه شیب تندتر شود، زبری ناشی از پلکان، افزایش می‌یابد. آخرین برآوردهای ضریب زبری f مربوط به Chanson (2002,2002a) Boes & Hager (2002,2003b) رابطه (۹) تحت عنوان زبری بستر است:

$$\frac{f_e}{f_d} = 0.5 \cdot \frac{1 + \tanh(2.5 \cdot \frac{0.5 \cdot C_{mean}}{C_{mean}(1 - C_{mean})})}{C_{mean}(1 - C_{mean})} \quad (8)$$

$$f_d = \frac{2}{\sqrt{\pi}} \frac{1}{K}$$

که در آن $\frac{1}{K}$ ضریب ثابت بدون بعد ناشی از لایه برشی است Gonzales & Chanson (2005) که در تحقیقات $k = 6$ بهترین نتیجه را داده است:

$$\frac{1}{\sqrt{f_b}} = \frac{1}{\sqrt{0.5 - 0.42 \sin(2\theta)}} \left[1.0 - 0.25 \log\left(\frac{K}{D_h}\right) \right] \quad (9)$$

عمق Y_{90} در محدوده جریان یکنواخت به عنوان ملاک تعیین ارتفاع دیوارهای جانبی سرریز پلکانی قرار می‌گیرد که معمولاً ارتفاعی حداقل $Y_{90} / 2$ را برای ارتفاع دیوار جانبی سرریز پلکانی مدنظر قرار می‌دهند.

انرژی باقیمانده در پایین دست سرریز پلکانی در جریان سرسره غلت‌شی تابعی از دبی در واحد طول سرریز q_w سرعت U_w ، عمق جریان d_w در پای سرریز و شیب سرریز است. سرعت جریان، خود تابعی از زبری بستر سرریز (s یا k) و ارتفاع سد H_{dam} متناظر با عمق جریان است.

به منظور برآورد انرژی باقیمانده جریان در پای سرریز پلکانی باید درک صحیحی از زبری، مقاومت بستر و تأثیر هوا بر روی آنها داشته باشیم. اختلاف عمدۀ سرریز سرسرهای ساده و سرریز پلکانی، در نوع زبری غالب در عملکرد جریان روگذر است. در حقیقت در سرریز سرسرهای، زبری غالب، زبری سطح بستر^۱ و در سرریز پلکانی، زبری غالب، زبری شکل بستر^۲ است.

علی‌رغم حاکم بودن زبری شکل بستر در عملکرد جریان سرسره غلت‌شی در سرریز پلکانی، ضریب زبری دارسی- وايسباخ^۳ برای تعیین انرژی استهلاکی برروی سرریز پلکانی با احتساب تأثیر هوا به شکل کلی رابطه (۷) قابل ارائه است.

$$f_e = \frac{8gS_f d_w^2}{q_w^2} \left(\frac{D_h}{4} \right) \quad (7)$$

برای سرریزهای پلکانی عربیض d_w است. در رابطه (۷)، در صورتی که ارتفاع سرریز نسبت به عمق مشخصه جریان d_w زیاد باشد، به گونه‌ای که جریان به حالت یکنواخت برسد، شیب افت انرژی S_f با شیب کف سرریز $\sin \theta$ برابر شده و به تبع آن قابل جایگزینی با $\sin \theta$ است. بنابراین بحث اصلی در محاسبه f_e برآورد

1. Skin Friction

2. Form Drag

3. Darcy –Weisbach Friction Factor

$$\frac{H_{res}}{H_{max}} = \frac{\left(\frac{f}{8Sin\theta}\right)^{\frac{1}{3}} Cos\theta + \frac{\alpha}{2} \left(\frac{f}{8Sin\theta}\right)^{\frac{2}{3}}}{\frac{H_{dam}}{d_c} + \frac{3}{2}} \quad (11)$$

که $\alpha \approx 1.1 \sim 1.16$ است.

Boes & Hager (2003b) و Boes & Minor (2002)

با این منطق که در حالتی که نسبت $\frac{H_{dam}}{d_c}$ به سمت صفر میل می‌کند (سرریز وجود نداشته باشد)، نسبت $\frac{H_{res}}{H_{max}}$ باید به سمت یک میل کند، رابطه (11) را برای جریانهای یکنواخت سرسره غلتتشی $\frac{H_{dam}}{d_c} \geq 15 \sim 20$ (به صورت رابطه (12) اصلاح کردند).

$$\frac{H_{res}}{H_{max}} = \frac{\left(\frac{f_b}{8Sin\theta}\right)^{\frac{1}{3}} Cos\theta + \frac{\alpha}{2} \left(\frac{f_b}{8Sin\theta}\right)^{\frac{2}{3}}}{\frac{H_{dam}}{d_c} + \left(\frac{f_b}{8Sin\theta}\right)^{\frac{1}{3}} Cos\theta + \frac{\alpha}{2} \left(\frac{f_b}{8Sin\theta}\right)^{\frac{2}{3}}} \quad (12)$$

در حالت جریان غیر یکنواخت معادله انرژی باقیمانده باید بر اساس ضریب زبری که بر اساس شیب انرژی و نه شیب بستر سرریز به دست می‌آید، محاسبه شود. لذا:

$$S_f = Sin\theta - \frac{d}{d_s} SE \quad (13)$$

که $H = \frac{dH}{ds}$ ، $S_f = \frac{dH}{ds}$ کل انرژی جریان روگذر در نقطه مورد نظر و s مختصات طولی در مسیر بستر سرریز است. Boes & Hager (2003a,b) با دیدگاه کلی فوق که اولین بار توسط Chanson (1994b) مطرح شد، معادله (14) را برای حالت جریان غیر یکنواخت سرسره غلتتشی $\frac{H_{dam}}{d_c} < 15 \sim 20$ برای زوایای شیب θ با $19^\circ \leq \theta \leq 55^\circ$ کاربرد رابطه تحلیلی (Chow 1959) برای جریان یکنواخت روگذر به رابطه کلی (11) دست یافتند:

در رابطه (9)، f_b از روی عمق عاری از هوا، d_w با احتساب اثر دیوارهای جانبی سرریز محاسبه شده و ضریب تصحیح شکل تغییر مقطع از دایره به مستطیل نیز در نظر گرفته شده است. زاویه سرریزهایی که در این رابطه مدنظر قرار گرفته $50^\circ < \theta < 19^\circ$ است.

Matos (2005) رابطه (9) را در مطالعات خود بررسی و تطابق خوبی را بین نتایج محاسبه شده از رابطه با نتایج آزمایشگاهی مشاهده کرد.

Chow (1959) برای سرریزهای سرسرهای ساده، انرژی باقیمانده در پای سرریز را برای جریانهای روگذر یکنواخت و غیریکنواخت به صورت رابطه (10) مطرح کرده است:

$$H_{res} = SE = d_w Cos \theta + \alpha \frac{q_w^2}{2gd_w^2} \quad (10)$$

که SE انرژی ویژه است.

Chamani & Chanson (1994b) Boes & Hager (2003a,b) Rajaratnam (1994) Matos et al. (2001) Matos (2000) تصویح انرژی جنبشی برای جریانهای سرسره غلتتشی بر روی سرریز پلکانی در حدود $\alpha = 1.1 \sim 1.16$ براورد شده است.

Matos & Chanson (1994b) Boes (2000) و Quintela (1995a,c) در مطالعات خود، نتایج محاسبه انرژی نسبی باقیمانده جریان روگذر سرسره غلتتشی اندازه‌گیری شده $\left(\frac{H_{res}}{H_{max}}\right)$ را به صورت تابعی از ارتفاع نسبی کلی سرریز $\left(\frac{H_{dam}}{d_c}\right)$ ترسیم کرده و با کاربرد رابطه تحلیلی (Chow 1959) برای جریان یکنواخت روگذر به رابطه کلی (11) دست یافتند:

بسیار زیادی روبه رو است و به ابزار اندازه گیری دقیق یا روش‌های غیر مستقیم نیاز دارد. روش‌های مرسوم اندازه گیری را می‌توان به شرح زیر برشمرد.

- محاسبه انرژی باقیمانده جریان در پای سرریز از طریق اندازه گیری غلظت هوا، سرعت و عمق آب در پنجه سرریز و سپس برآورد عمق آب بدون هوا d_w که این کار از طریق ابزاری نظری:

- Back-flushing pitot tubes
- Single- or double-tipped resistivity probes
- Single- or double-tipped optical probes
- Single- or double-tipped conductivity probes
- Laser Doppler systems

انجام می‌شود.

- با ایجاد پرش هیدرولیکی اجباری در پای سرریز از طریق کنترل عمق پایاب، اندازه گیری عمق ثانویه پرش هیدرولیکی و محاسبه عمق اولیه آب بدون هوا از روی آن و به تبع داشتن عمق اولیه، انجام محاسبه انرژی باقیمانده جریان در پای سرریز

- کاربرد دوربینهای با سرعت بالا و ردیابی خطوط جریان از طریق روش‌های پردازش تصویر که به تبع کاربرد روش‌های مختلف نتایج حاصل متفاوت بوده است. به عنوان نمونه نتایج استفاده از روش پرش هیدرولیکی، نشان دهنده استهلاک کمتر انرژی بر روی پلکان نسبت به روش‌های اندازه گیری غلظت هوا و محاسبه عمق آب بدون هوا است که در این زمینه Matos (2005) و Chanson (2002b) بررسیهایی را برای تعیین عوامل موثر بر نتایج انجام داده‌اند. با توجه به اینکه در جریان دوفازی، جریان تلاطم بسیار زیادی دارد، (1997) Ohtsu & Yasuda با استفاده از سرعت سنج LDA نشان دادند که تلاطم نسبی طولی $\frac{u'}{U} < 18\%$ و تلاطم نسبی قائم $\frac{v'}{V} < 4\%$ است. همچنین به دلیل

$$\frac{H_{res}}{H_{max}} = \exp \left[\left(-0.045 \left(\frac{k}{D_h} \right)^{0.1} (Sin\theta)^{-0.8} \right) \frac{H_{dam}}{d_c} \right] \quad (14)$$

همچنین با جمع‌بندی کار Boes ، Yasuda (1999) ، Boes & Hager ، Schlapfer (2000) ، (2000) Chanson (2002b) و Volkart & Minor (2004) غلت‌شی یکنواخت، Boes رابطه ساده‌تر (15) را ارائه کردند. این محققان ضمن آزمایش‌های متعددی در مرکز آزمایشگاهی موسسه فناوری فدرال (ETH) سوئیس، صحبت و محدوده کاربرد رابطه (15) را نیز تأیید کرده‌اند. این رابطه برای سرریزهای متوسط و بلند $\left(\frac{H_{dam}}{d_c} \right) > 8$ کاربرد دارد:

$$\frac{H_{res}}{H_{max}} = a \left(\frac{H_{dam}}{d_c} \right)^b \quad (15)$$

که در آن:

زاویه شبیه θ	ضریب a	ضریب b
-14/1	5/0	20°
-0/81	3/6	30°
-0/56	2/1	40°, 50°

Pegram, Officer & Mottram (1999) از طریق تشکیل پرش هیدرولیکی در پایین دست مدل سرریز پلکانی اقدام به اندازه گیری افت انرژی بر روی سرریز پلکانی کرده‌اند که نتایج حاصل نشانگر افت انرژی کمتری نسبت به کار دیگر محققان (ارائه شده در فوق) است. این محققان رابطه‌ای را ارائه نکردند و فقط نمودار d افت انرژی نسبی بر حسب عمق بحرانی جریان روگذر d را ارائه کردند که در این مقاله برای مقایسه به کار رفته است.

همانگونه که در مباحث قبلی بیان شد، اندازه گیری دقیق انرژی باقیمانده جریان در پای سرریز پلکانی، به دلیل دوفازی بودن جریان (اختلال آب و هوا) با دشواری

- v' جذر میانگین مربعات (rms) مولفه‌های نوسانات سرعت طولی و قائم هستند.

دلیل تلاطم شدید جریان دوفازی آب و هوا، متأسفانه از اثر ناشی از نیروی لرجت و کشش سطحی نمی‌توان Boes صرف نظر کرد. در این راستا محققانی مانند Chanson & Boes & Hager (2003a), (2000a) و Takahashi et al. Gonzales (2004, 2004a, 2005) a (2005) با ساختن مدل سرریز در مقیاسهای مختلف و مقایسه نتایج مدلها با یکدیگر و با شکلهای واقعی سرریز، مطالعات ارزشمندی داشته‌اند. با توجه به اینکه یکی از متداولترین موارد کاربرد سرریزهای پلکانی در سدهای بتن غلطکی بوده که عموماً خیز پلکان سرریز به دلیل ضخامت لایه‌های اجرایی $0.3/0.6$ متر (۱۱ یا ۲ فوت) است و معمولاً با ضخامت $0.6/0.6$ متر اجرا می‌شود، لذا بیشتر محققان نسبت هندسی مدل را بر حسب ضخامت خیز 0.6 متر پلکان واقعی مدنظر قرار می‌دهند. با توجه به اهمیت تاثیر لرجت و کشش سطحی، اعداد رینولدز R^3 و W^4 در تناظر با نیروهای موثر در مقابل با نیروی اینرسی از اهمیت برخوردارند. در جمع‌بندی اظهار نظرهای محققان، در مدل هیدرولیکی سرریز پلکانی برای دستیابی به نتایج مناسب، باید $W > 100$ ، $R > 10^5$ باشد و مقیاس مدل حتی الامکان بزرگتر از $1/15$ و ترجیحاً بزرگتر از $1/10$ باشد تا تأثیر غلظت هوا در بدنه جریان دوفازی ریزشی، بر روی اصطکاک بسترهای شرایط واقعی مطابقت داشته باشد.

با توجه به اثر مقیاس، چهار خیز پلکان به ترتیب $3, 5, 8$ و 12 سانتیمتر (Gonzales & Chanson (2005)) حداقل خیز پلکان به مدل را به $\approx 2\text{cm} < 0.0656\text{ft}$ محدود کردن در دو شیب طولی سرریز با زاویه $18/8$ و 28 درجه با افق مد نظر قرار گرفته که در ترکیب مدل، دبهای $6, 10, 15$ و 20 لیتر در ثانیه آزمایش شده است. عرض کanal سرریز و حوضچه شنی برابر 20 سانتیمتر بوده که شرط حداقل عرض کanal آزمایشگاهی 15

دوفازی بودن جریان (از حدود 70 درصد عمق به سطح، جریان آب به صورت قطره‌هایی مجزا از یکدیگر با سرعهای مختلف در جههای مختلف و بیشتر در مسیر اصلی جریان حرکت می‌کند) و صعوبت به کارگیری ابزار اندازه‌گیری غلظت هوا، همچنین عدم همخوانی پدیده پرش هیدرولیکی به وجود آمده در پای سرریز پلکانی با تئوری پرش هیدرولیکی، به دلیل تمایز شدید دوفازی بودن تیغه ورودی به پرش هیدرولیکی در مقایسه با عمق اولیه بدون هوا در نظر گرفته شده در تئوری پرش هیدرولیکی، از روش غیر مستقیم جدیدی برای براورد انرژی کل تیغه خروجی از پایین دست سرریز پلکانی استفاده شده است. این روش مبنی بر اندازه‌گیری فرسایشی ناشی از برخورد جت جریان پای سرریز با بستر پای سرریز است. به عبارت دیگر هر چه انرژی مجموعه تیغه جریان خروجی بیشتر باشد، عمق فرسایش بیشتر است.

۳- تجهیزات آزمایشگاهی و نحوه آزمایشها

در راستای درک فرایند هیدرولیکی جریان ریزشی بر روی سرریز پلکانی با حاکم قراردادن عدد فرود¹ در مدل هیدرولیکی، به تبع حاکم بودن نیروی ثقل در ریزش جریان بر روی سرریز پلکانی روباز، یک مجموعه آزمایشگاهی متشكل از کanal سرریز و حوضچه شنی در پایین دست برای انجام آزمایش عبور جریان در دیهای و شبیهای مختلف سرریز برای خیزهای متفاوت پلکان در آزمایشگاه هیدرولیک دانشکده مهندسی دانشگاه شیراز تهیه شد. در راستای تهیه مدل آزمایشگاهی با توجه به شکل دوفازی جریان ریزشی، اثر مقیاس² مدل از نکات بسیار مهمی است که باید مدنظر قرار گیرد. علی‌رغم حاکم بودن نیروی ثقل به جریان ریزشی سرریز پلکانی به

3. Raynolds Number
4. Weber Number

1. Froude Number
2. Scale Effect

حفره آب شستگی موضعی، تحت تیغه جریان روگذر سرریز در پایی سرریز بر روی بستر دانه‌ای قابل فرسایش به وجود می‌آید. توسعه گودال آب شستگی ناشی از تیغه ریزشی جریان، به جنس بستر (قطر متوسط ذرات d_{50})

ضریب یکنواختی ذرات $\frac{d_{60}}{d_{10}}$ ، چگالی ستگانه ها G و زاویه اصطکاک داخلی (φ) و شرایط جریان اعم از جهت و نحوه برخورد تیغه آب با بستر دانه‌ای، انرژی کل تیغه ریزشی اعم از پتانسیل و جنبشی، بستگی دارد.

، Schoklitsch (1928) محققان متعددی مانند (Eggenberger Jaeger (1939 Veronese 1937)، Hartung (1957 Doddiah (1944 Chatterjee Rajaratnam (1976) Breusers (1965 Farhoudi & Smith & Ghosh (1980~1994 Hassan & Mason (1985~1989)، (1982~1985 Bormann & Julien (1991 Narayanan (1985 Balanchandar Hoffmans (1998 Sakar & Dey (1997~2000) Hager & Ghodsian (2002~2006)، (2003~2006) Minor (2006) بر روی این موضوع کار کرده‌اند. بیشتر روابط به صورت تجربی بر حسب طیف محدود آزمایش‌های مورد مطالعه تدوین شده که در برخی موارد در محدوده‌های دیگر یا شرایط واقعی خطای زیادی دارد. در این زمینه (1985) Mason و (1998) Hoffmans کار تعداد زیادی از محققان را جمع‌بندی کرده و تفاوت‌ها را بررسی کرده‌اند. لذا در این خصوص با توجه به شرایط خاص آزمایش، ابتدا برای درک روند تغییرات ابعاد گودال، شکل فرسایش گودال تحت زوایای مختلف 3° ، $8/8^{\circ}$ ، 13° ، $18/8^{\circ}$ ، 23° و 28° درجه جهت سرریز سرسره‌ای ساده برای دبهای مختلف 6 ، 10 ، 15 ، 20 ، 25 و 25 لیتر در ثانیه (مجموعاً 30 حالت) برای دانه‌بندی $d_{50}=2.5\text{cm}$ شکل تشکیل گودال در حالت تعادل بررسی شد.

اگرچه مشخصات شروع حرکت ذرات به وسیله جریان آب، تعیین کننده کلی حمل رسوب نیست، اما نگاه دقیق

سانتمتر ($\frac{1}{2}$ فوت) معرفی شده از طرف موسسه عمران آب امریکا (1987) USBR، برای جلوگیری از اثر زبری دیوار، را ارضاء می‌کند. بنابراین در مجموع برای 40 وضعیت مختلف آزمایش انجام شده است.

شکل ۴ طرحواره سیستم آزمایشگاهی کanal سرریز را نشان می‌دهد که شامل ۱) مخزن آرامش جریان در بالادست کanal، ۲) کanal شیشه‌ای سرریز به عرض 50 سانتمتر، طول 4 متر و دیوارهای شیشه‌ای با ارتفاع 30 سانتمتر، 3) کanal افقی حوضچه شنی به عمق 20 سانتمتر شن و 40 سانتمتر لبه آزاد در نیمه اول و 20 سانتمتر لبه آزاد در نیمه دوم پایین دست، عرض 20 سانتمتر و طول کلی 4 متر، 4) مخزن پایین دست کanal به ابعاد $3/5$ متر در 3 متر و عمق 70 سانتمتر با احتساب 10 سانتمتر لبه آزاد، 5) پمپ سانتریفیوژ با قدرت آبدھی 60 لیتردر ثانیه در ارتفاع 10 متر، 6) شیر کنترل کشوئی به قطر 10 سانتمتر (4 اینچ)، 7) دستگاه سنجش دبی مغناطیسی^۱ با دقت 0.1 لیتر در ثانیه، 8) لوله فلزی انتقال به قطر 10 سانتمتر (4 اینچ) به طول کلی $11/5$ متر. کanal سرریز با تعییه سیستم بالابر مکانیکی در ابتداء و لولای اتصال به کanal حوضچه شنی در انتهای، امکان قرارگیری شیوه‌ای مختلف را از 5 درجه تا 28 درجه با افق دارد. برای اندازه‌گیری عمق جریان در طول کanal سرریز و حوضچه شنی از عمق سنج ورنیر دیجیتال^۲ با دقت 0.1 میلی‌متر استفاده شده است.

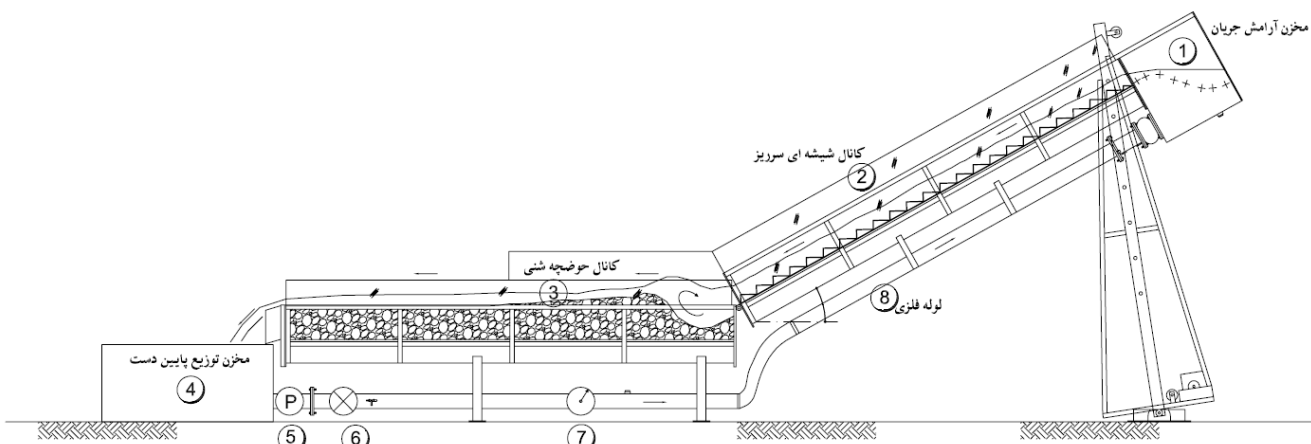
به منظور اندازه‌گیری انرژی جریان ریزشی روگذر در پایین دست سرریز، از اندازه‌گیری ابعاد گودال فرسایشی پایین دست سرریز پلکانی استفاده شده است. در این راستا، نحوه استفاده از شکل گودال و ارتباط آن با انرژی جریان به وجود آورنده آن (کالیبره کردن)^۳ به شرح زیر است.

1. Magnetic Flow Meter
2. Digital Vernier Depth Gage
3. Calibration

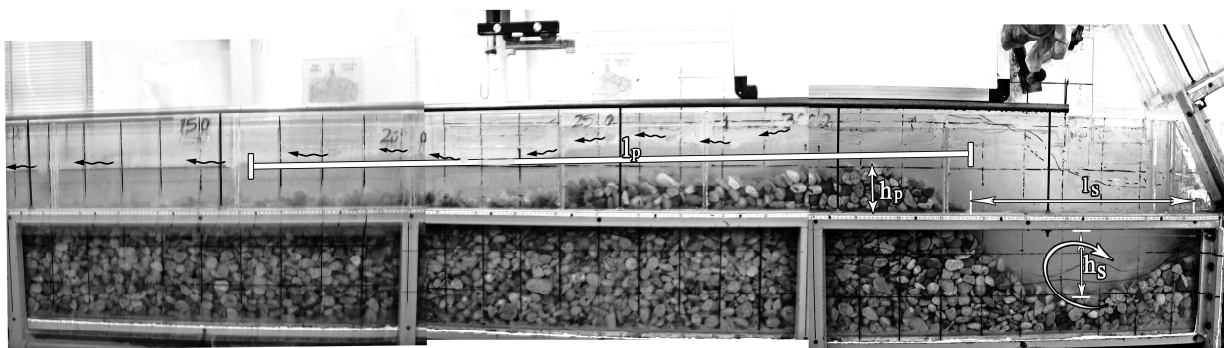
سرسره‌ای ساده، نظیر بلندا، دبی، عدد فرود و توان جریان برآورده شد. در این زمینه، ارتباط عمق گودال با عدد فرود و توان جریان ورودی برای کلیه شیوه‌های سرریز، روند مناسبی را نشان می‌داد. (لازم به توضیح است که با توجه به بررسی کار محققان قبلی، ایده ارتباط عمق گودال با توان جریان جدید است). شکل ۶ ارتباط بسیار خوبی را بین عمق گودال با توان خروجی جریان نشان می‌دهد. رابطه ۱۶ بر اساس این ارتباط حاصل شده که از شیب مستقل است.

$$P_{\Delta} = 1.05 h_s^{1.92} + 5.0 h_s + 3.1 \quad (16)$$

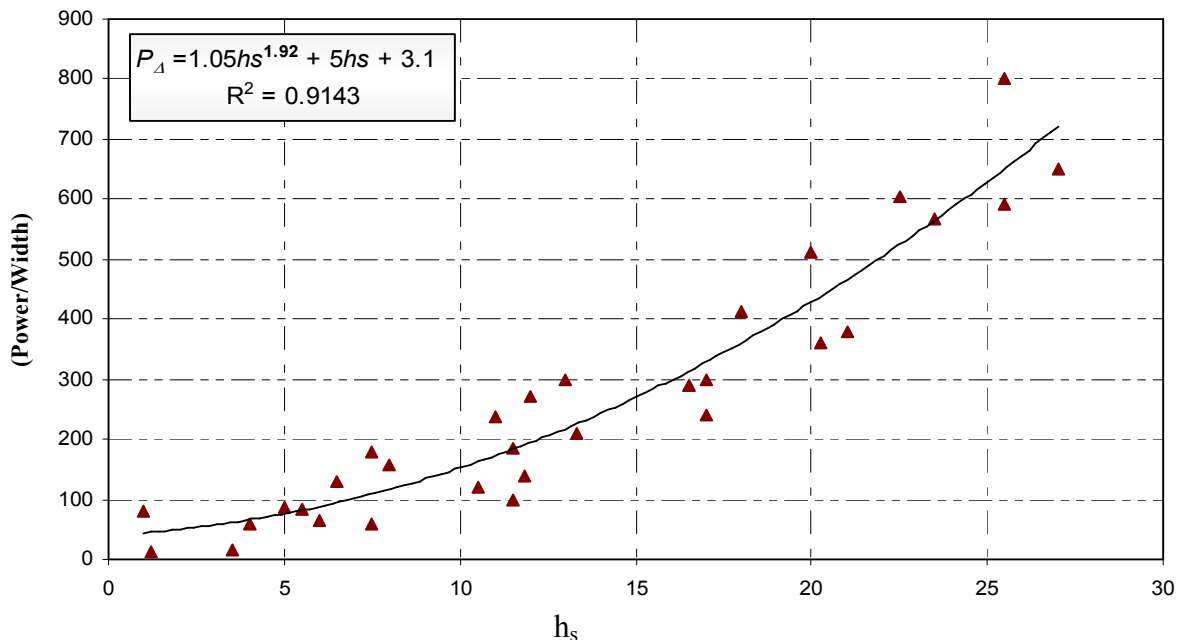
به شکل حفره آب شستگی و شروع حرکت ذرات، ما را به وجود تشابه در نحوه عملکرد آب شستگی و شکل هندسی حفره آب شستگی هدایت می‌کند. پارامترهای مشخصه برای تعریف آب شستگی موضعی در پایاب سرریز در حالت تعادل نهایی (گسترش نهایی حفره) شامل عمق گودال h_s ، طول گودال آب شستگی l_s ، ارتفاع پشتہ بعد از گودال h_p و طول پشتہ L است (شکل ۵). در این خصوص تراز آب روی پشتہ بعد از گودال که خود متأثر از شرایط پایاب جریان است، در طول گودال و پشتہ نقش بهسازی دارد (فرهودی ۱۳۶۳، مردشتی ۱۳۷۲ و Mason 1985, 1989). ارتباط ابعاد مشخصه گودال آب شستگی با مشخصه‌های تیغه جریان انتهای سرریز



شکل ۴ سیمای شماتیک ساختار آزمایشگاهی کانال سرریز و حوضچه شنی پایین دست آن



شکل ۵ نحوه تشکیل گودال آب شستگی پایین دست سرریز در حوضچه شنی و ابعاد آن



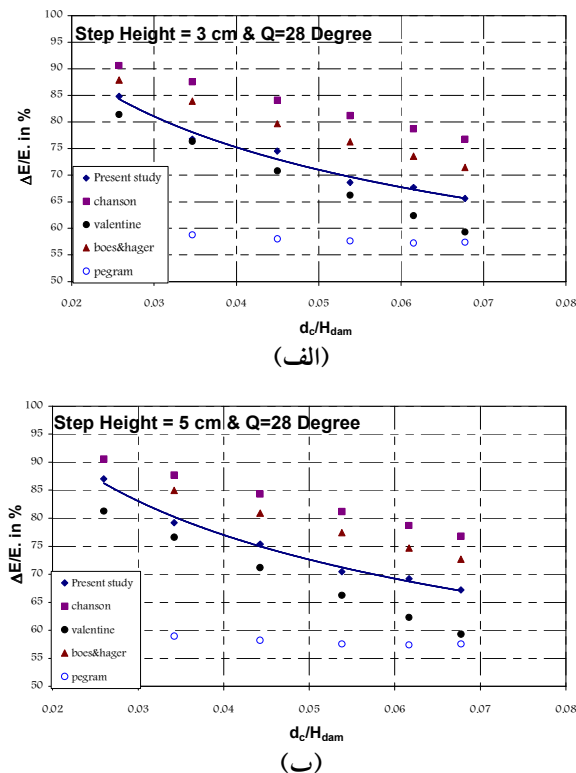
شکل ۶ نمودار ارتباط بین عمق گودال آب شستگی با توان خروجی جریان از سرریز

اندازه‌گیری q و H_t مقدار H_{res} بلندای باقیمانده جریان ریزشی در انتهای سرریز محاسبه شده است.

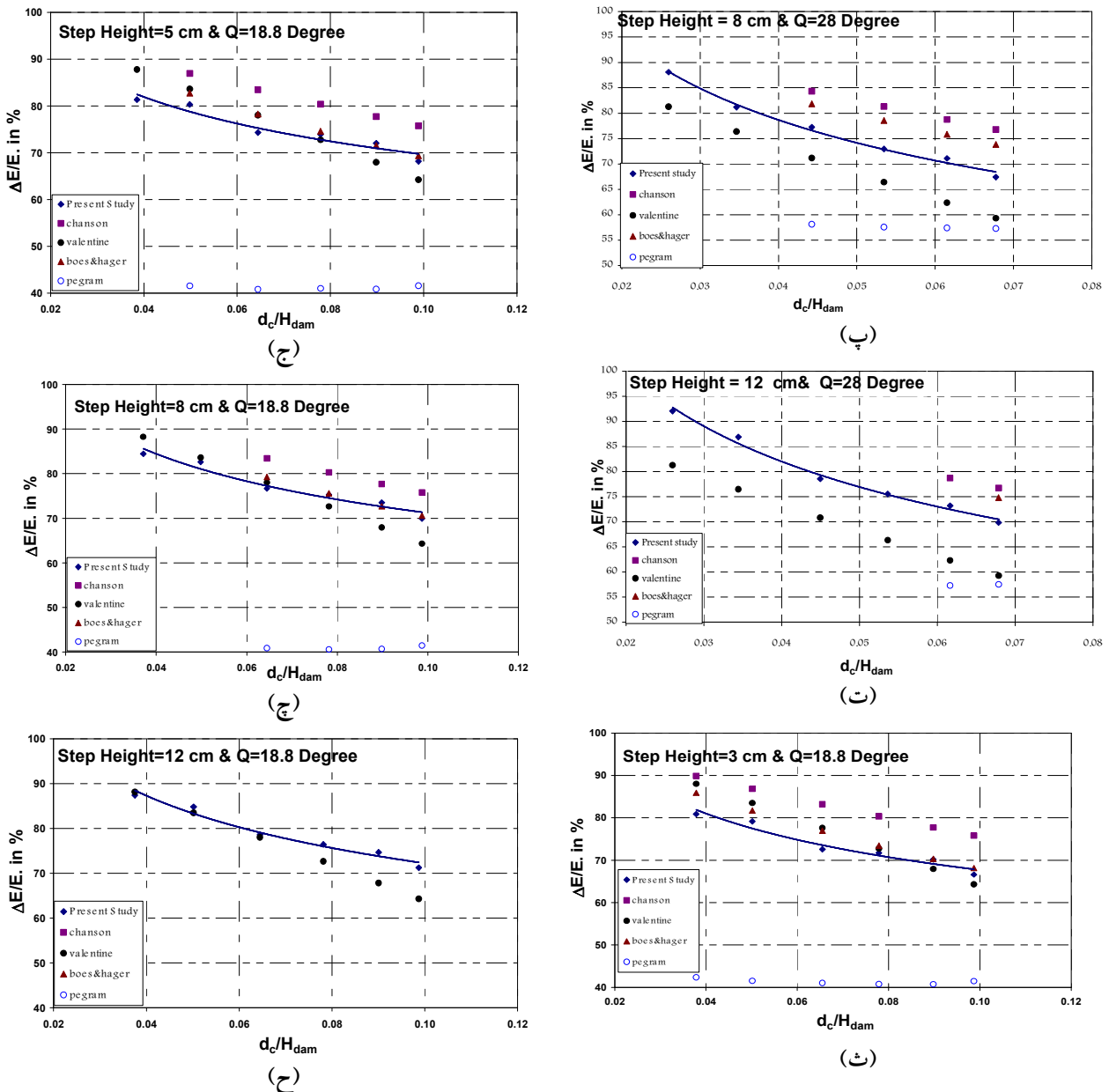
که P_Δ ، توان در واحد طول مورد نیاز برای ایجاد گودال آب شستگی در حالت تعادل نهایی به سانتیمتر است و از رابطه ۱۷ محاسبه می‌شود:

$$P_\Delta = \gamma q [H_{res} - H_t] \quad (17)$$

که H_{res} بلندای جریان ریزشی در انتهای سرریز و H_t بلندای جریان در پایین دست گودال فرسایشی است. برای برآورد میزان انرژی باقیمانده در پایین دست سرریز پلکانی با توجه به رابطه فوق، برای هر یک از آزمایشها، پس از به تعادل رسیدن گودال آب شستگی حوضچه شنی^۱، پمپ خاموش می‌شد و پس از تخلیه آب از داخل سنگدانه‌ها، برداشت توپوگرافی گودال آب شستگی انجام می‌شد. سپس از روی عمق گودال h_s مقدار P_Δ محاسبه شده و از روی P_Δ از رابطه ۱۷، با



۱- منظور از به تعادل رسیدن فرسایش یعنی اینکه با گذشت زمان، دیگر خروجی سنگدانه از داخل گودال به روی پشه پایین دست وجود نداشته باشد. این زمان بر حسب میزان جریان و اندازه سنگدانه $d_{50}=2.5\text{cm}$ ، بین ۱۵ دقیقه تا ۳۰ دقیقه به طول انجامیده است.



شکل ۷ الف، ب، پ و ت نمودارهای مقایسه افت انرژی حاصل از مطالعات حاضر با روابط ارائه شده از سوی محققان مختلف

برای شیب ۲۸ درجه با افق و پلکانهای باخیز ۳، ۵، ۸ و ۱۲ سانتیمتر

ث، ج، چ و ح نمودارهای مقایسه افت انرژی حاصل از مطالعات حاضر با روابط ارائه شده از سوی محققان مختلف

برای شیب ۱۸/۸ درجه با افق با پلکانهای ۵، ۸ و ۱۲ سانتیمتر

درجه و چهار وضعیت مختلف خیز پلکان ۳، ۵، ۸ و ۱۲ سانتیمتر برای هر شیب در مقایسه با نتایج محاسباتی Valentine (2004), Boes & Hager (2002 & 2003b) در شکل ۷ برای هر حالت در دیبهای مختلف ترسیم شده است. با توجه

۴- تجزیه و تحلیل نتایج آزمایشگاهی

با توجه به نتایج حاصل از مجموعه آزمایشها، میزان

استهلاک انرژی نسبی سرریز پلکانی ($\frac{\Delta E}{E}$) در مقابل

نسبت بدون بعد ($\frac{d_c}{H_{\text{dam}}}$) برای دو شیب ۱۸/۸ و ۲۸

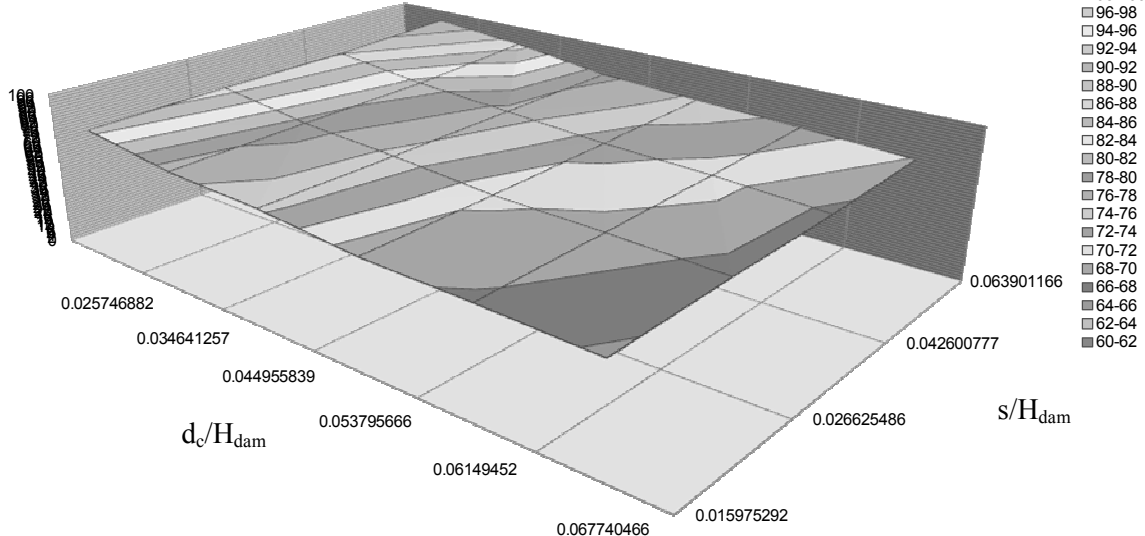
(2002) و (2004) Valentine به ترتیب از تطابق مناسبتر، متوسط و دست بالا و متوسط دست پایین نسبت به نتایج اندازه‌گیری شده برخوردار هستند.

نتایج محاسباتی حاصل از کار Pegram et al. (1999) با توجه به روند محدود تغییرات و مقدار بسیار دست پایین، بین ۵۵ تا ۶۰ درصد را برای شیب ۲۸ درجه و حدود ۴۰ درصد را برای شیب ۱۸/۸ درجه، ارائه می‌کند که در مقایسه با روش‌های دیگر، خطای زیادی دارد. بنابراین روش اندازه‌گیری افت انرژی به کمک پرش هیدرولیکی در پایین دست، باید مورد ارزیابی و بررسی دقیق‌تری قرار گیرد. در مقایسه، رابطه ارائه شده توسط Boes & Hager (2002 & 2003b) برای برآورد افت انرژی در حالت جریان سرسره غلتشی مناسب‌تر است.

برای بررسی چگونگی تاثیر همزمان نسبت بدون بعد

$$\left(\frac{S}{H_{dam}}\right) \text{ و } \left(\frac{d_c}{H_{dam}}\right)$$

$$\left(\frac{\Delta E}{E}\right)$$



شکل ۸ نمودار سه بعدی استهلاک نسبی انرژی $\left(\frac{\Delta E}{E}\right)$ در مقابل نسبتهای بدون بعد $\left(\frac{S}{H_{dam}}\right)$ و $\left(\frac{d_c}{H_{dam}}\right)$

به روند تغییرات، با افزایش دبی جریان و به تبع آن افزایش نسبت بدون بعد $\left(\frac{d_c}{H_{dam}}\right)$ ، میزان استهلاک

انرژی بر روی سریز پلکانی کاهش می‌یابد.

در این روند، رابطه استهلاک انرژی Chanson (2002) و Boes & Hager (2002 & 2003b) به ترتیب نتایج بیشتر به کمتر را نشان می‌دهند.

نتایج آزمایشگاهی حاضر عمدتاً بین نتایج محاسباتی Boes & Hager (2004) و Valentine (2004) حاصل از کار (2002 & 2003b) قرار می‌گیرد، که معمولاً به نتایج کار Boes & Hager بسیار نزدیکتر می‌باشد. با توجه به نمودارهای نتایج آزمایشگاهی، افت انرژی بین ۲ تا ۵ درصد کمتر از نتایج محاسباتی کار Boes & Hager (2002 & 2003b) است، که برای حصول اطمینان برای طراحی سازه انرژی‌گیر پایین دست لازم است.

بنابراین بر طبق این ارزیابی، روابط افت انرژی کار Chanson، Boes & Hager (2002 & 2003b)

آستانه شروع جریان سرسره غلتی را نشان می‌دهد. روابط تمامی محققان در جدول ۱ ارائه شده است. در ارزیابی حاضر رابطه (Yasuda, Ohtsu (2004) در زیر ارائه شده است.

$$\frac{d_c}{s} \geq \frac{7}{6} (\tan \theta)^{\frac{1}{6}} \quad \text{آستانه پایین دست سرسره غلتی}$$

$$\frac{d_c}{s} \leq 1.4(1.4 - \tan \theta)^{-0.26} \quad \text{آستانه بالایی جریان افتان و خیزان}$$

(18)

لازم است توضیح داده شود که روابط ارائه شده برای تفکیک حالت‌های مختلف جریان، روابطی تجربی و به دست آمده از نتایج آزمایشگاهی است.

یکی از مهمترین مواردی که در تفکیک حالت‌های جریان ریزشی روی سرریز مطرح می‌شود، مشکل اندازه‌گیری استهلاک جریان ریزشی روی سرریز، توسط دستگاههای اندازه‌گیری غلظت هوا در پایین دست سرریز به خصوص در جریان انتقالی به دلیل تلاطم شدید و پاشش نوسانی سطح آب و پراکندگی شدید ذرات آب در هوا است.

به همین دلیل در مقایسه با مطالعات انجام شده برای محاسبه افت انرژی در جریان سرسره غلتی، مطالعات در زمینه محاسبه افت انرژی برای جریان افتان و خیزان بسیار کمتر و مطالعات مرتبط با محاسبه افت انرژی جریان انتقالی بسیار ناچیز در حد یک تا دو مقاله است.

در این آزمایش با توجه به عملکرد گودال آب‌شستگی در پایین دست سرریز، خوب‌بختانه امکان اندازه‌گیری انرژی باقیمانده جریان در پایین دست سرریز به راحتی می‌سرشد است، که این را می‌توان یکی از جنبه‌های مثبت این روش اندازه‌گیری دانست. نمودار میزان نسبی استهلاک انرژی جریان ریزشی در مقابل نسبت بدون بعد فرود زیر^۱ (رابطه ۱۹) بدون لحاظ کردن شبکه سرریز در شکل ۹ ترسیم شده است.

$$Fr = \frac{q_w}{\sqrt{g \sin \theta k^3}} \quad (19)$$

1. Roughness Froude Number

همانطور که در این شکل مشاهده می‌شود در $(\frac{d_c}{H_{dam}})$ کم، با افزایش $(\frac{S}{H_{dam}})$ ، میزان استهلاک انرژی نسبی سریعاً افزایش می‌یابد و جریان از حالت سرسره غلتی به جریان افتان و خیزان تبدیل می‌شود. در حالی که هر چه $(\frac{d_c}{H_{dam}})$ بیشتر شود، اثر تغییرات $(\frac{S}{H_{dam}})$ در محدوده‌های پله‌های کوچک کمتر شده و به عبارت دیگر در حالت جریان سرسره غلتی با $(\frac{d_c}{S})$ زیاد، تاثیر ارتفاع پله در میزان کاهش استهلاک انرژی کاهش می‌یابد و بدین ترتیب زیری فرم بستر به تدریج از عمق پله مستقل می‌شود.

به اعتقاد Valentine (2004) این موضوع در $\frac{H_{dam}}{d_c} > 8$ اتفاق می‌افتد. البته بر اساس نتایج آزمایشگاهی حاضر به نظر می‌رسد که برای $\frac{H_{dam}}{d_c} > 15 \sim 20$ اتفاق می‌افتد.

یکی از موارد مهم دیگری که در طی تحقیقات آزمایشگاهی بررسی شد، حالت‌های مختلف جریان تحت افزایش دبی سرریز از حالت افتان و خیزان (*n*)، انتقالی (*n-t*, *s-t*) و حالت سرسره غلتی (*s*) است که در بررسی جامع جدول ۱ با نتایج کار محققان دیگری مانند Boes & Chanson (2002 & 2003b), Chanson (2002), Chinnarasri & Yasuda (1997, 2004), Hager (2006) مقایسه شده است.

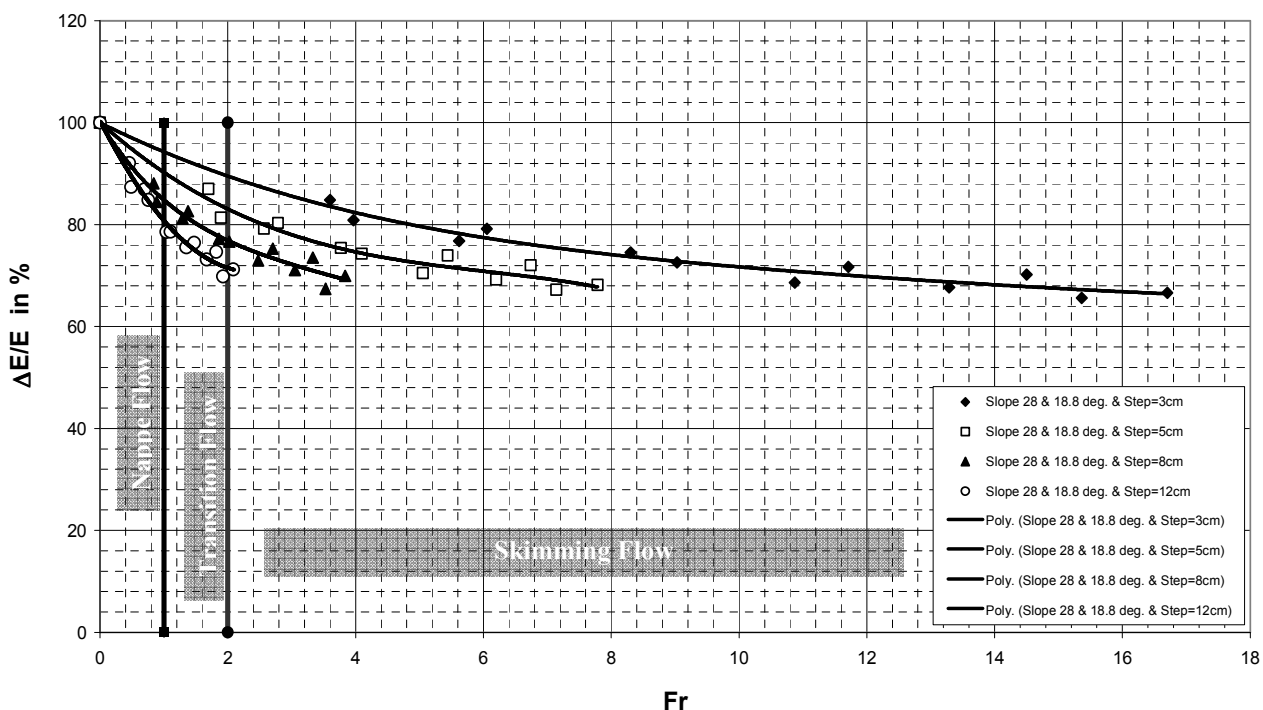
همانطور که در جدول ۱ مشاهده می‌شود، نتایج آزمایشگاهی با نتایج محاسباتی Yasuda, Ohtsu (2004) و Chinnarasri & Wangwises (2006) و Boes & Hager (2002, 2003b) و Chanson (2002) به ترتیب از مطابقت بیشتر به کمتر برخوردارند. البته نکته مهم آن است که رابطه Boes & Hager (2002) فقط

جدول ۱ مقایسه نتایج دیداری تفکیک حالت‌های مختلف جریان ریزشی در مقابل نتایج دیگر محققان

Situation Number	Run Number	Step Spillway Angle Q (Degrees)	s (m)	l (m)	Step Number	q ($m^3/S/m$)	d_c (m)	k (m)	d_c/s	H _{dam} (m)	d_c/H_{dam}	Flow Type				Fr									
												Observed	Boes & Hager	Chanson	Yasuda & Ohutso	Chinnarasi & Wongwises									
1	1	0.03	0.056	63	0.033	0.048	0.026	1.612	0.026	1.8779	0.026	s	s	s	s	3.600									
	2				0.052	0.065						s	s	s	s	5.618									
	3				0.077	0.084						s	s	s	s	8.306									
	4				0.101	0.101						s	s	s	s	10.872									
	5				0.123	0.115						s	s	s	s	13.288									
	6				0.142	0.127						s	s	s	s	15.363									
2	7	0.05	0.094	38	0.034	0.049	0.044	0.976	0.026	1.285	0.026	s	s	t	s	1.696									
	8				0.051	0.064						s	s	s	s	2.564									
	9				0.075	0.083						s	s	s	s	3.770									
	10				0.101	0.101						s	s	s	s	5.053									
	11				0.123	0.116						s	s	s	s	6.199									
	12				0.142	0.127						s	s	s	s	7.140									
3	13	0.08	0.150	24	0.034	0.049	0.071	0.610	0.026	1.444	0.026	n	n	n	n	0.838									
	14				0.052	0.065						s	s	t	t	1.290									
	15				0.075	0.083						s	s	s	s	1.863									
	16				0.100	0.100						s	s	s	s	2.474									
	17				0.123	0.115						s	s	s	s	3.051									
	18				0.142	0.127						s	s	s	s	3.528									
4	19	0.12	0.226	16	0.034	0.049	0.106	0.407	0.026	1.590	0.026	n	n	n	n	0.456									
	20				0.051	0.065						s	s	n	n	0.696									
	21				0.077	0.084						t	n	t	t	1.038									
	22				0.100	0.101						s	s	t	t	1.353									
	23				0.123	0.116						s	s	s	s	1.667									
	24				0.143	0.127						s	s	s	s	1.926									
5	25	0.03	0.088	43	0.142	0.127	0.028	4.240	0.028	3.859	0.099	s	s	s	s	16.703									
	26				0.123	0.116						s	s	s	s	14.502									
	27				0.100	0.100						s	s	s	s	11.711									
	28				0.077	0.084						s	s	s	s	9.030									
	29				0.051	0.065						s	s	s	s	6.053									
	30				0.034	0.049						s	s	s	s	3.968									
6	31	0.05	0.147	26	0.143	0.127	0.047	2.549	0.028	3.347	0.099	s	s	s	s	7.786									
	32				0.123	0.116						s	s	s	s	6.740									
	33				0.100	0.100						s	s	s	s	5.443									
	34				0.075	0.083						s	s	s	s	4.098									
	35				0.051	0.064						s	s	s	s	2.787									
	36				0.035	0.050						s-t	s	t	t	1.895									
7	37	0.08	0.235	16	0.142	0.127	0.076	1.590	0.076	1.447	0.099	s	s	s	s	3.836									
	38				0.123	0.116						s	s	s	s	3.330									
	39				0.100	0.101						s	s	s	s	2.702									
	40				0.075	0.083						s-t	s	s	s	2.025									
	41				0.051	0.064						t	n	t	t	1.377									
	42				0.033	0.048						n	n	n	n	0.886									
8	43	0.12	0.352	11	0.142	0.127	0.114	1.060	0.114	0.987	0.099	s-t	s	t	s	2.088									
	44				0.124	0.116						t	s	t	t	1.820									
	45				0.100	0.101						t	n	t	t	1.471									
	46				0.075	0.083						t	n	n	n	1.102									
	47				0.051	0.065						n	n	n	n	0.757									
	48				0.033	0.048						n	n	n	n	0.489									
نام محقق						Skimming Flow						Nappe/Flow													
Boes & Hager (2003)						$\frac{d_c}{s} \geq 0.91 - 0.14 (\frac{s}{l})$						حداکثر نسبت $\frac{d_c}{s}$ جهت تشکیل جریان افتان و خیزان													
Chansou (2002)						$\frac{d_c}{s} \geq 0.2 - 0.325 (\frac{s}{l})$						$\frac{d_c}{s} \leq 0.89 - 0.4 (\frac{s}{l})$													
Yasuda & Ohutso (1997-2004)						$\frac{d_c}{s} \geq \frac{7}{6} (\frac{s}{l})^{\frac{1}{6}}$						$\frac{d_c}{s} \leq 0.4(1.4 - \frac{s}{l})^{-0.26}$													
Chinnarasi & Wongwises (2006)						$\frac{d_c}{s} \geq 0.844 (\frac{s}{l})^{-0.53}$						$\frac{d_c}{s} \leq 0.927 - 0.388 (\frac{s}{l})$													

جهت اعداد فرود زیر بین ۱ تا ۲ جریان حالت انتقالی دارد و در نهایت برای اعداد فرود زیر بیش از ۲ جریان سرسره غلتشی تشکیل می‌شود. نویسندهای در تحقیقات تکمیلی به دنبال تکمیل و تدقیق این موضوع با گردآوری نتایج خام آزمایشگاهی سایر محققان هستند.

نوسانات نقاط حول خط عبوری در هر خیز پله ناشی از اثر دو شیب در نظر گرفته شده سرریز است. نکته جالبی که در این تحقیقات مشاهده شد، ارتباط حالت‌های مختلف جریان ریزشی با عدد فرود زیر است. در این خصوص در طی آزمایشها مربوط مشاهده شد که جریان افتان و خیزان برای اعداد فرود زیر کمتر از ۱ تشکیل می‌شود و



شکل ۹ میزان نسبی استهلاک انرژی سرریز پلکانی اندازه‌گیری شده جهت چهار خیز پلکانی ۳، ۵، ۸ و ۱۲ سانتیمتری و دو شیب سرریز ۲۸ و ۱۸/۸ درجه در مقابل عدد فروود زبر Fr

عوامل مؤثر بر نحوه جريان ريزشي و استهلاک انرژي آن را پوشش می‌دهد.

این عدد بدون بعد، عدد فروود زبر ارتفاعی یا Fr^* ^۱ نامیده می‌شود و در رابطه (۲۰) ارائه شده است:

$$Fr^* = \frac{Fr}{\sqrt{\sin \theta N}} = \frac{q_w}{\sqrt{g} \sin \theta \sqrt{k^3} \sqrt{N}} = \left(\frac{q_w^2}{g \sin^2 \theta k^3 N} \right)^{0.5} \quad (20)$$

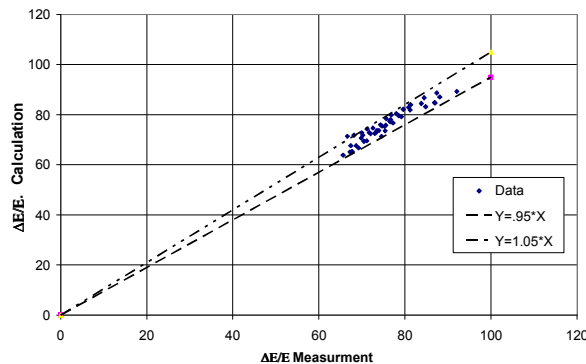
شیب سرریز θ به صورت $\sin \theta$ و اثر ارتفاع سد و خیز پلکان به صورت نسبت $N = \frac{H_{dam}}{s}$ ملاحظه شده است. با توجه به این نگرش، میزان استهلاک انرژی جريان ريزشي در مقابل عدد فروود زبر ارتفاعی برای هر دو شیب به صورت مجزا ترسیم و نتایج آن در شکل ۱۰ ارائه شده است.

چنانچه در شکل ۹ مشاهده می‌شود، شیب خط کاهش استهلاک انرژی در محدوده جريان افتان و خیزان بسیار بیشتر، در محدوده جريان انتقالی کمتر و در محدوده جريان سرسره غلتشی بسیار کم می‌شود و در حقیقت بین سه حالت جريان با توجه به روش جدید اندازه‌گیری حاضر، نوعی انسجام و همبستگی وجود دارد.

این موضوع اين ديدگاه را قوت می‌دهد که احتمالاً امكان ارائه رابطه‌ای کلی برای سه حالت جريان ريزشي وجود دارد.

در اين راستا با محور قراردادن عدد فروود زبر با توجه به مشاهده ارتباط مناسب با میزان استهلاک انرژی جريان ريزشي بر روی سرریز پلکانی و همچنین وجود اثر نوسانی ناشی از اختلاف شیب سرریز θ ، و نیز وجود اثر بلندای کلی سرریز H_{dam} در بررسیهای بسیار، عدد ترکیبی بدون بعد جدیدی حاصل شد که تقریباً اثر تمامی

1. Hightness Rough Fround Number

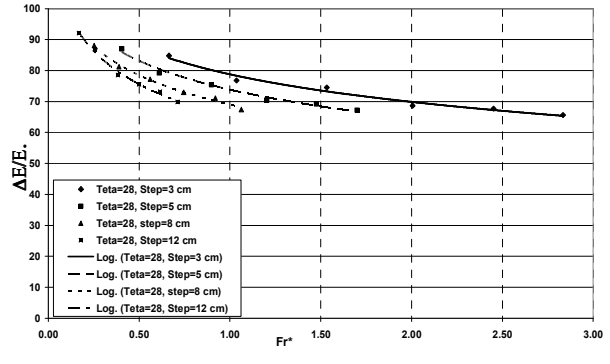


شکل ۱۱ نمودار تعیین دقیقت نتایج محاسباتی در مقابل نتایج آزمایشگاهی

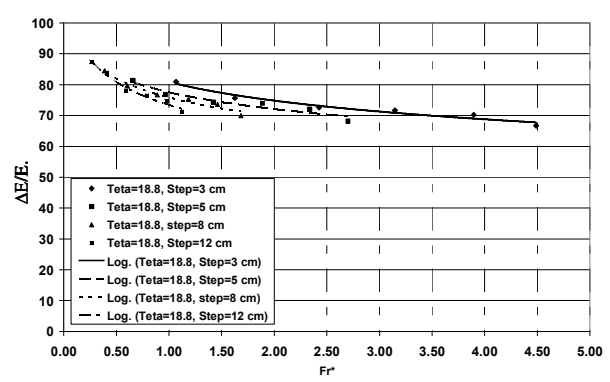
همانگونه که در این نمودار مشاهده می‌شود، خطای نتایج محاسباتی نسبت به نتایج اندازه‌گیری، برای درصدهای بالای استهلاک انرژی حداکثر در حد $\pm 5\%$ است که نتیجه قابل قبولی به شمار می‌رود. البته برنامه تحقیقاتی جدیدی مد نظر است که بتوان مجموعه آزمایشگاهی را در شبیهای تندر ۴۰ و ۵۰ درجه و تخت تر ۱۰ درجه نیز با نگرش فوق مورد ارزیابی قرار داد.

۵- نتیجه‌گیری

در طی آزمایش‌های انجام شده، نتایج حاصل با استفاده از روش جدید اندازه‌گیری عمق فرسایش گودال پایین دست با نتایج محاسباتی حاصل از کار دیگر محققان مقایسه شد. در مجموع نتایج کار (Boes & Hager 2002, 2003b) از تطابق بیشتری برخوردار بود. بعد از ایشان کار Chanson (2002) با حدود ۳ تا ۷ درصد استهلاک انرژی بیشتری را برآورد می‌کند که البته در جهت عدم اطمینان برای سازه‌های پایین دست است. لذا با توجه به اینکه روش جدید اندازه‌گیری گودال فرسایشی، که نتایج آن در محدوده معنی دار نتایج کار محققانی که از طریق اندازه‌گیری غلظت هوا، انرژی پایین دست سریز را اندازه گرفته‌اند، می‌باشد، این روش به عنوان یک روش جدید، ساده و قابل استناد می‌تواند بعنوان روش اندازه‌گیری انرژی جریانهای دو فازی رو باز مدنظر قرار گیرد.



الف) شب سریز ۲۸ درجه



ب) شب سریز ۱۸.۸ درجه

شکل ۱۰ نمودارهای میزان نسبی استهلاک انرژی سریز پلکانی اندازه‌گیری شده در مقابل عدد فرود زبر ارتفاعی * Fr برای چهارخیز پلکانی ۳، ۵، ۸ و ۱۲ سانتیمتری

به تبع این مهم با توجه به روند انحنای منحنیها نسبت به تغییرات ارتفاع خیز پلکان و شب سریز θ رابطه تجربی (۲۱) برای برآورد استهلاک انرژی در کل طیف جریان معرفی شده است.

$$\frac{\Delta E}{E} = \frac{H_{dam} - H_{res}}{H_{max}} \times 100 = 100 + \alpha \left[\exp\left(-\frac{Fr^*}{\beta}\right) - 1 \right]$$

که در آن:

$$\alpha = 2.97058 \quad \theta^{0.7811667} ; \theta \text{ in Degree}$$

$$\beta = \frac{1.34154}{\ln(s)} ; s \text{ in cm} \quad (21)$$

در نهایت برای تعیین دقیقت این فرمولبندی، نتایج محاسباتی فوق در مقابل نتایج اندازه‌گیری در نمودار شکل ۱۱ ترسیم شده است.

d_{10}	اندازه چشمکه الکی که ۱۰٪ ذرات سنگدانه از آن عبور کند
d_{50}	اندازه چشمکه الکی که ۵۰٪ ذرات سنگدانه از آن عبور کند
d_{60}	اندازه چشمکه الکی که ۶۰٪ ذرات سنگدانه از آن عبور کند.
ΔE	تغییرات ارتفاع (بلندای) کل انرژی جریان
E	ارتفاع (بلندای) کل انرژی جریان
F	$(F = \frac{U_w}{\sqrt{g.L_e}})$ عدد فرود
F_r	$(F_r = \frac{q_w}{\sqrt{g \sin \theta k^3}})$ عدد فرود زبر
f	ضریب اصطکاک دارسی وايسپاخ برای جریان غیرهوادهی
f_e	ضریب اصطکاک دارسی وايسپاخ برای مخلوط جریان روگذر آب و هوا
f_b	ضریب اصطکاک دارسی وايسپاخ در مجاورت کف مجازی (سطح پوش لبه پلکانهای سرریز)
H_{dam}	ارتفاع سد یا سرریز سد
H_{max}	حداکثر ارتفاع (بلندای) انرژی جریان در آستانه بالادست سرریز سد نسبت به تراز کف پنجه سرریز ($H_{max} = H_{dam} + 1.5d_c$)
H_{res}	ارتفاع (بلندای) انرژی جریان در پایین دست سرریز سد (کل بلندای انرژی باقیمانده جریان در پای سرریز)
H_t	ارتفاع (بلندای) انرژی جریان در پایین دست گودال فرسایشی
h_s	عمق گودال آبشتگی
h_p	: ارتفاع پشتہ بعد از گودال
g	شتاب ثقل
k	ارتفاع (عمق) بر جستگی پلکان عمود بر شیب $(k = s \times \cos \theta)$ کلی سرریز

همچنین این روش، اندازه‌گیری انرژی باقیمانده در پایین دست سرریز جهت کلیه سه حالت جریان ریزشی را میسر می‌سازد. بر مبنای همین خصوصیت امکان ارائه یک فرمول تجربی جدید جهت ارزیابی استهلاک انرژی برای کل طیف جریان ریزشی میسر شده است، (رابطه ۲۱) که طی مقایسه با نتایج اندازه‌گیری گردیده از خطای خوب و قابل قبول کمتر از ۵ درصد برخوردار است.

همچنین با بررسی دیداری^۱ حالتهای مختلف جریان ریزشی طی آزمایش‌های مختلف، ارتباط معنی داری بین سه حالت جریان ریزشی ۱- جریان افتان و خیزان ۲- جریان انتقالی^۳- جریان سرسره غلتتشی و عدد فرود زبر (Fr) مشاهده گردیده که در همین برآورد محدوده اول برای اعداد فرود زبر کمتر از ۱ و حالت دوم برای اعداد فرود زبر بین ۱ تا ۲ و حالت سوم برای اعداد فرود زبر بیش از ۲ تشخیص داده شد. البته جهت تدقیق مرز تفکیکی عدد فرود زبر، این محققین، در صدد جمع آوری نتایج آزمایشگاهی کار دیگر محققین و ارزیابی نتایج خام آزمایشگاهی آنان می‌باشد.

۶- فهرست علائم

α	ضریب تصحیح انرژی جنبشی
C	غلظت مکانی هوا، که به صورت نسبت حجم هوا به واحد حجم مخلوط آب و هوا تعريف می‌شود
C_{mean}	غلظت متوسط هوای جریان که بر حسب عمق متوسط گیری شده است.
D_h	قطر معادل هیدرولیکی جریان براساس عمق آب عاری از هوا
d_w	عمق معادل ارتفاع ستون آب خالص (عاری از هوا)
d_c	عمق بحرانی جریان

- ISSN 1661-1179, Lausanne, Switzerland.
- [2] Boes R.M., (2000a), "Scale effects in modelling two-phase stepped spillway flow", Proc. Int. Workshop on Hydraulics of Stepped Spillways, VAW, ETH Zurich, Minor, H.E., and Hager, W.H., (eds). Balkema, Rotterdam, pp. 53-60.
- [3] Boes R.M. and Hager W. H., (2003a), "Two-phase flow characteristics of stepped spillways", ASCE Journal of Hydraulic Engineering, September 2003, pp. 661-670.
- [4] Boes R.M. and Minor H.E., (2002), "Hydraulic design of stepped spillways for rcc dams", Hydropower Dams, 9(33), pp. 87-91.
- [5] Boes R.M., Hager W.H., (2003b), "Hydraulic design of stepped spillways", ASCE, Journal of Hydraulic Engineering, 129(9), September, pp. 671-679.
- [6] Chamani M.R. and Rajaratnam N., (1994), "Jet flow on stepped spillways", Journal of Hydraulic Engineering, ASCE, Vol. 120, No.2, pp. 273-283.
- [7] Chamani M.R. and Rajaratnam, N., (1999), "Characteristics of skimming flow over stepped spillways", Journal of Hydraulic Engineering, ASCE, Vol. 105, No. 4, pp. 361, 368.
- [8] Chamani M.R., (2000), "Air inception in skimming flow regimen over stepped spillways", Proc. Int. Workshop on Hydraulics of Stepped Spillways, VAW, ETH Zurich, Minor, H.E., and Hager, W.H. (eds.). Balkema, Rotterdam, pp. 61-67.
- [9] Chanson H., (1994), "Hydraulics of nappe flow regime above stepped chutes and spillways", Aust. Civil Engrg. Trans., I. E. Aus, Vol. CE36. No. 1 Jan, pp. 69-76.
- [10] Chanson H., (2001), "Hydraulic design of stepped spillways and downstream energy dissipators", Dam Engineering, Vol. 11, No. 4, pp. 205-242.
- [11] Chanson H. (2002), "The hydraulics of stepped chutes and spillways", Balkema ed., ISBN 90 5809 352 2.
- [12] Chanson H. (2002a), "Enhanced energy dissipation in stepped chutes discussion", Proc Institution of Civil Engineering Water & Maritime Engineering UK, 154(4), pp. 343-345.
- [13] Chanson H., (2002b), "Air-Water flow measurements with intrusive phase-detection probes. Can we improve their interpretation?" Journal of Hydraulic Engineering, ASCE,

l	طول کف پله های سرریز پلکانی
l_s	طول گودال آب شستگی
l_p	طول پشت
N	تعداد پله های سرریز پلکانی
P_Δ	توان جریان در واحد عرض مورد نیاز جهت ایجاد گودال آب شستگی به عمق h_s
q	دبی جریان در واحد عرض
q_w	دبی در واحد عرض
θ	زاویه شبیع عمومی سرریز نسبت به افق
Re	عدد رینولدز ($Re = \frac{LU_w}{v}$)
S	شبیع عمومی سرریز ($S = \frac{s}{l} = \tan \theta$)
S_f	شبیع خط انرژی جریان بر روی سرریز
s	ارتفاع (خیز) پله های سرریز پلکانی
U	مولفه افقی سرعت
U_w	سرعت متوسط جریان روگذر عاری از هوا
u'	تلاظم جریان در راستای حرکت غالب جریان
V	مولفه قائم سرعت
v'	تلاظم جریان در راستای عمود بر حرکت غالب جریان
We	عدد ویر ($We = \frac{\rho U_w^2 L}{\sigma}$)
Y	عمق کل جریان روگذر عمود بر شبیع سرریز (مخلوط آب و هوا)
Y_{90}	عمق جریان روگذر عمود بر شبیع سرریز در نقطه‌ای که غلظت هوا ۹۰ درصد باشد ($C=90\%$)

- منابع

- [1] André Stéphanie, (2004), "High velocity aerated flows on stepped chutes with macro-roughness elements", Communication 20, Laboratoire de Constructions Hydrauliques Ecole Polytechnique Federale de Lausanne,

- [24] Matos J., Pinheiro A.N., Frizell K.H. and Quintela A.C., (2001), "On the role of stepped overlays to increase spillway capacity of embankment dams", Proceedings ICOLD European Symposium-Dams in a European Context, NNCOLD, G. H. idttommn, B. Honningsvag, K. Repp, K. Vaskinn e T. Westeren (eds), pp. 473-483.
- [25] Matos J., (2005, in review), "Air entrainment and flow resistance in skimming flow over steeply sloping stepped spillways", Journal of Hydraulic Engineering, ASCE, under review.
- [26] Mason P.J., (1989), "Effects of air entrainment on plunge pool scour", Journal of Hydraulic Engineering, Vol.115, No.3, pp. 385-399.
- [27] Mason P.Y., Arumugam K., (1985), "Free jet scour below dams and flip buckets", Journal of Hydraulic Engineering, Vol.111, No.2, pp. 220-235.
- [28] Ohtsu I. & Yasuda, Y., (1997), "Characteristics of Flow Conditions on Stepped channels", Proc. 27th IAHR Congress, theme D, San Francisco, USA, pp. 583-588.
- [29] Pegram G., Officer A. and Mottram S., (1999), "Hydraulics of skimming flow on modelled stepped spillways", Journal of Hydraulic Engineering, ASCE, 125(4), pp. 361-368.
- [30] Peruginelli A., Pagliara S., (2000), "Energy dissipation comparison among stepped channel, drop and ramp structures", Proc. Int. Workshop on Hydraulics of Stepped Spillways, VAW, ETH Zurich, Monor, H.E., and Hager, W.H., (eds). Balkema, Rotterdam, pp. 111-118.
- [31] Peyras L., Royet P. and Degoutte G., (1992), "Flow and energy dissipation over stepped gabion weirs", Journal of Hydraulic Engineering, ASCE, Vol. 118, No.5, May, pp. 233-251.
- [32] Pinheiro A.N., Fael C.S., (2000), "Nappe flow in stepped channels – occurrence and energy dissipation", Proc. Int. Workshop on Hydraulics of Stepped Spillways, VAW,ETH Zurich, Monor, H.E., and Hager, W.H., (eds.). Balkema, Rotterdam, pp. 119-126.
- [33] Rajaratnam N., (1990), "Skimming flow in stepped spillways", Journal of Hydraulic Engineering, ASCE, Vol. 116, No.4, pp. 52-79.
- Vol. 128, No. 3, pp. 252-255 .
- [14] Chanson H. and Gonzalez C.A., (2005), "Physical modelling and scale effects of air-water flows on stepped spillways", Journal of Zhejiang University Science, Vol. 6A, No.3, pp. 243-250.
- [15] Chanson H. and Gonzalez C. A. (2004), "Stepped spillways for embankment dams, review, progress and development in overflow hydraulics", International conference on Hydraulic of Dams and River Structures, Tehran, Iran, F. Yazdandoost and J. Attari Eds., Balkema, pp. 287-294.
- [16] Chow V.T., (1959), "Open-channel hydraulics", Mc Graw-Hill, Inc., ISBN 07-010776-9.
- [17] Christodoulou G.C., (1993), "Energy dissipation on stepped spillways", Journal of Hydraulic Engineering, ASCE, Vol. 119, No. 5, pp. 273-287.
- [18] Frizell K.H., Matos J. and Pinheiro A.N., (2000), "Design of concrete stepped overlay protection for embankment dams", Proc. Intl. Workshop on Hydraulics of Stepped Spillways, Minor, H.E., and Hager, W. H., (eds.), Zurich, Switzerland, pp. 179-186.
- [19] Gonzales C.A. and Chanson H., (2004a), "Scale effects in moderate slope stepped spillways experimental studies in air-water flows", The Institution of Engineers 8th Annual Conference on Hydraulics in Water Engineering, Australia, July 13-16, 2004, pp. 922-937.
- [20] Gonzales C.A. and Chanson H., (2005), "Experimental study of turbulence manipulation in stepped spillways", "Implications on flow resistance in skimming flows", Proceedings of the 31st IAHR Congress, Seoul, Korea, September 11-16, pp. 152-467.
- [21] Hoffmans G.J.C.M. (1998), "Jet scour in equilibrium phase", Journal of Hydraulic Eng., Vol. 124, No.4, April, pp. 430-437.
- [22] Matos J. and Quintela A., (1995b), Discussion of "Jet flow on stepped spillways", by M.R. Chamani and N. Rajaratnam, Journal of Hydraulic Engineering, ASCE, Vol. 121, No. 5, May.
- [23] Matos J., (2000), "Hydraulic designing of stepped spillways over rcc dams", Proc. Int. Workshop on Hydraulics of Stepped Spillways VAW, ETH Zurich, Monor, H.E., and Hager, W.H., (eds), Balkema, Rotterdam, pp. 187-194.

- [38] U.S. Department of Interior Bureau of Reclamation, (1987), "Hydraulic model studies of upper stillwater dam stepped spillway and outlet works", REC-ERC-87-6.
- [۳۹] فرهودی، جواد، «نیمرخ طولی آب شستگی موضعی در پایین دست حوضچه‌های آرامش»، مجله آب شماره ۲، سال ۱۳۶۳ ص. ۱۱ تا ۳۶.
- [۴۰] مردشتی، اسدالله، «بررسی روش‌های طرح و آنالیز سدهای انحرافی بتنی و تدوین یک بسته نرم افزاری مناسب»، پایان نامه کارشناسی ارشد دانشگاه شیراز-دانشکده مهندسی-بخش راه و ساختمان سال ۱۳۷۲.
- [34] Sorensen R. M., (1985), "Stepped spillway hydraulic model investigations", Journal of Hydraulic Engineering, ASCE, Vol. 111, No. 12, December, pp. 170-188.
- [35] Stephenson D., (1991), "Energy dissipation down stepped spillways", International Water Power and Dam Construction, Vol. 43, September, pp. 601-615.
- [36] Valentine G., Volkart P.U. and Minor H.E., (2004), "Energy dissipation along stepped spillways", International conference on Hydraulic of Dams and River Structures, Tehran, Iran, F. Yazdandoost and J. Attari Eds., Balkema, pp. 359-370.
- [37] Yasuda Y. and Otsu I., (1999), "Flow resistance in skimming flow in stepped channels", Proceedings, 28th IAHR Congress, Graz, Austria, H. Bergmann, R. Krainer and H. Breinhalter (eds). Theme B14 (CD-ROM), pp. 333-359.